

(131) スラグ-溶融金属間反応速度に及ぼすガス吹き込み攪拌の影響

名古屋大学工学部 ○平沢政広 森一美 佐野正道
名古屋大学大学院 島谷祐司 圖中朝夫

1. 緒言 スラグ-溶融金属(メタル)間反応速度に及ぼすガス吹き込み攪拌の影響について、溶銅-スラグ間反応系をモデル系とし、メタル側溶質成分の物質移動律速条件下で吹き込みガス流量、るっぽ径、メタル浴深さを変化させて実験を行ったので、その結果について報告する。

2. 実験 本実験における反応は次式で表わされる。 $\text{Si} + 2\text{FeO} = \text{SiO}_2 + 2\text{Fe}$ (1)

SiC 抵抗炉を用い、Cu-Si 合金と $\text{Li}_2\text{O} 28\% - \text{SiO}_2 58\% - \text{Al}_2\text{O}_3 14\%$ の基本合成スラグに FeO を添加したスラグをアルミニウム内に Ar 雰囲気下 1250°C において溶解し、(1)の反応を起こさせる。Cu 中 Si、スラグ中 FeO 初濃度は予備実験の結果に基いてメタル側 Si の物質移動律速となるようそれを 0.1% 及び 9% とした。¹⁾ 実験中適宜溶銅試料を採取しメタル中 Si 濃度の経時変化を調べる。実験中るっぽ底部のノズル (O.D. 3mm, I.D. 1mm) から Ar ガスを吹き込みスラグ-メタル浴の攪拌を行う。実験条件は次のように変化させた。①吹き込み Ar 流量 $V_g = 25 \sim 370 \text{ N cm}^3/\text{min}$ ②メタル深さ $h_M = 2.4 \sim 4.8 \text{ cm}$ ③るっぽ内径 $d_c = 3, 4, 7.5 \text{ cm}$ 。また、実験中気泡生成に伴って発生する圧力パルスを測定し気泡発生頻度と気泡の球相当直径を求めた。

3. 結果と考察 反応(1)がメタル側 Si 移動律速のとき、 $\ln([\% \text{Si}]_0 / [\% \text{Si}]) = k \cdot t$ の関係が成立する。ここで $[\% \text{Si}]_0$ は Si 初濃度、 t は時間、 k は速度定数である。

Fig. 1 に $h_M = 3.5 \sim 3.7 \text{ cm}$ 一定として、 V_g と d_c を変化させた実験の結果を、丸とるっぽ断面積当たりの実験温度におけるガス流量 (V_g/A) の関係として示した。既に一部を前報で示した通り丸はるっぽ径によって決まるあるガス流量以下では $(V_g/A)^{1/2}$ に比例する。反応界面積が A に等しいと仮定し、Fig. 2 は $d_c = 4 \text{ cm}, V_g = \text{一定}$ の場合の k_{Si} と h_M の関係である。 h_M が小さい時、 k_{Si} は h_M の増加とともに増大する。 h_M がある程度大きくなると k_{Si} は h_M に依存しなくなる傾向がある。

以上の $k \propto (V_g/A)^{1/2}$ の範囲及び丸が h_M とともに増加する範囲について、 k_{Si} と V_g, d_c 及び h_M の関係を検討し、結果を Fig. 3 に示した。 k_{Si} は $(V_g \cdot h_M/A)$ によってよく整理できる。このことは、気泡吹き込みによりスラグ-メタル界面近傍のメタル側に生じる乱れが k_{Si} を増大させることを示すと解釈できた。

更に実験結果を検討し、無次元項による整理を行う。

1) 森ら、鉄と鋼、68(1982)S127, 2) 森ら、鉄と鋼、69(1983)S240.

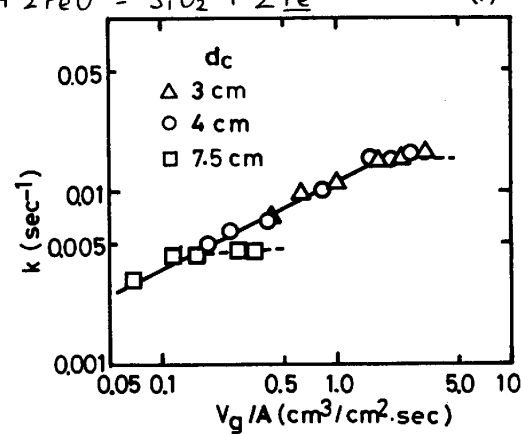


Fig. 1 Rate constant vs. Gas flow rate/cross sectional area of crucible.

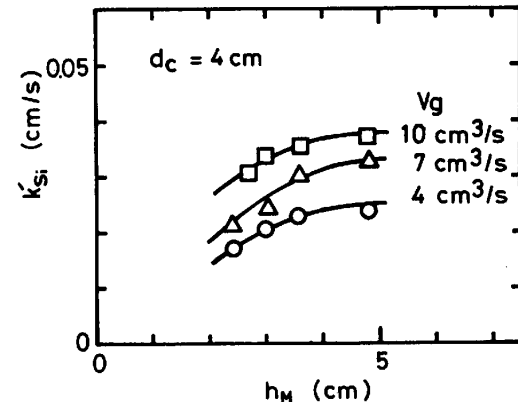


Fig. 2 Apparent mass-transfer coefficient, k_{Si} , vs. Metal depth, h_M .

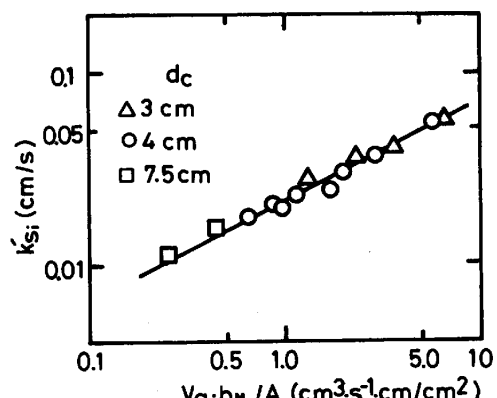


Fig. 3 k_{Si} vs. $(V_g \cdot h_M / A)$.